

تحلیل پایداری کرانه و مورفومتری رودخانه گلالی قروه به منظور پایدارسازی در برابر فرسایش

محمدمهری حسین زاده - دانشیار گروه جغرافیای طبیعی، دانشگاه شهید بهشتی.
سمیه خالقی - استادیار گروه جغرافیای طبیعی، دانشگاه شهید بهشتی.
میلاد رستمی * - دانشجوی دکتری ژئومورفولوژی، دانشگاه شهید بهشتی.

پذیرش مقاله: ۱۳۹۶/۰۶/۲۹ تأیید نهایی: ۱۳۹۷/۰۲/۲۹

چکیده

مدیریت و حفاظت از کرانه رودخانه‌ها از اهداف اساسی توسعه منابع آب بشمار می‌رود. در این میان مطالعه ناپایداری کرانه رودخانه جهت فعالیت مهندسی به منظور پایدارسازی کرانه در مقابل فرسایش از اقدامات لازم و ضروری است. لذا در این مقاله، ضریب ناپایداری رودخانه گلالی قروه و راهکار مهندسی جهت پایدارسازی کرانه آن با استفاده از روش تنش برشی لین مورد تحقیق قرار گرفت. بدین منظور کلیه پارامترهای مورد نیاز با استفاده از بررسی میدانی و تصاویر گوگل ارث اندازه گیری و در نهایت شیب، تنش برشی، زاویه شیب بدنه، ضریب پایداری ذره، زاویه انحراف خطوط جريان، عدد پایداری شیب بدنه ذره، زاویه حرکت ذره بستر، ضریب پایداری و سپس اندازه پاره سنگ موثر جهت سنگ چینی بدست آمد. بر این اساس مقاطع ۱ و ۵ دارای بیشترین و مقاطع ۲، ۴ و ۳ به ترتیب دارای کمترین ضریب ناپایداری هستند و اندازه پاره سنگ موثر برای پایدارسازی مقاطع ۱ تا ۵ به ترتیب برابر با ۴۲، ۲۶، ۲۰ و ۶۰ سانتی متر تخمین زده شد.

واژگان کلیدی: پایداری کرانه، تنش برشی، اندازه پاره سنگ، رابطه لین، رودخانه گلالی.

مقدمه

حفظات ساحل رودخانه در مقابل فرسایش از اهداف اصلی ساماندهی رودخانه ها در توسعه پایدار منابع آب به شمار می آید. چرا که فرسایش سواحل رودخانه ها، باعث خسارت به اراضی کشاورزی، آسیب دیدن سازه های مجاور مانند پل ها و جاده ها، عرضشدن آبراهه جریان و مسائل زیست محیطی قابل توجه می شود (استادی و همکاران ۱۳۹۳، ۵۵). فرسایش کرانه رود یکی از علل عدمه آلدگی غیر نقطه ای منابع آب و افزایش بار رسوب در بسیاری از رودخانه ها است (Rosgen et al., 2001; Simon and Darby, 1999; Wilson et al., 2006; ekely et al., 2002). افزایش فرسایش کناره ای نه تنها موجب افزایش بار رسوب می شود بلکه موجب ناپایداری رودخانه و تغییر نوع جریان و الگوی کanal هم می شود. از این رو طی چند دهه ای اخیر بار رسوب و ناپایداری کناره ای رود، نگرانی های عدمه ای را در سطح جهان ایجاد نموده و مبالغه زیادی برای پایداری کناره های رود صرف شده است (Lavendel, 2002; Bernhardt et al., 2005). یکی از ویژگی های مهم فرسایش کرانه رود نسبت به دیگر شکل های فرسایش، دائمی و همواره فعال بودن آن است، در حالی که انواع دیگر فرسایش فقط در حین بارندگی و یا کمی پس از شروع آن فعال می شوند.

اندر کنش نیروهای فعال حاصل از جریان آب و نیروهای مقاوم به جریان ناشی از مواد بستر و کرانه، باعث فرسایش کرانه کanal می شود. در نتیجه راه حل های مهندسی متعددی برای تقویت کرانه در برابر فرسایش بوجود آمده است. در روش های معمول از پوشش سنگریز و یا از پاره سنگهای بزرگی که در ساحل قرار دارند و به سادگی قابل برداشت نیستند، استفاده می شود. در صورتی که پوشش پاره سنگی^۱ با ابعاد و اندازه مناسب، مقرن به صرفه و در دسترس باشد، می تواند به صورت وسیعی جهت حفاظت کرانه رود مورد استفاده قرار بگیرد. روراندگی موج برشیهای با پوشش پاره سنگی معمولاً کمتر از انواع دیگر سازه ها می باشد. دو روش به جهت تعیین اندازه قلوه سنگ پوشش پاره سنگی ارائه شده است روش تنفس برشی و روش سرعت جریان که در این پژوهش از روش تنفس برشی استفاده می شود. در روش تنفس برشی، پایداری پوشش سنگریزه بر شیب جانبی،تابع مقدار و سرعت جریان یا تنفس برشی واقع در کناره، زاویه شیب و خواص پاره سنگ از قبیل اندازه، دانسیته و زاویه دار بودن قطعات است.

تاکنون تحقیقات زیادی توسط محققین داخلی و خارجی در زمینه ناپایداری و فرسایش کرانه رودخانه و مدیریت حفاظت از کرانه ها انجام گرفته است از جمله: کوان و سوانسن^۲ (۲۰۱۴) به پیش بینی فرسایش سالانه کرانه رودخانه با استفاده از شاخص خطر فرسایش کرانه (BEHI) و روش تنفس برشی نزدیک کرانه (NBS) برای جنگل ملی سکوایا در کالیفرنیا پرداخته اند. نتایج بدست آمده از طریق روش های NBS و BEHI با فرسایش واقعی کرانه در سال های ۲۰۰۸ تا ۲۰۱۲ مقایسه شد.

کوریت^۳ (۲۰۱۴) به تحلیل و ارزیابی کanal با روش پیامدهای منبع غیر نقطه ای رسوب (BANCS) برای پیش بینی فرسایش و پایداری کرانه رودخانه در استونی کلوو کریک^۴ در کلت اسکیلز^۵ پرداخته است. این مطالعه نشان داد که نتایج بدست آمده از طریق روش BANCS ممکن است منجر به بهبود مدیریت آینده حوضه استونی کلوو شود.

امیری تکلدانی و همکاران (۱۳۸۴) در پژوهشی اثرات موقعیت و عمق ترک های کشنشی در پایداری ساحل رودخانه را مورد بررسی قرار داده اند. بر اساس مشاهدات صحرایی و تعیین نوع ذرات تشکیل دهنده سواحل تخریب یافته مشخص شد که

^۱-Rock riprap

^۲-Wave runup

^۳ - Kwan and Swanson

^۴ - Coryat

^۵ - Stony Clove Creek

^۶ - Catskills

توسعه ترک کششی در خاک‌های در بر دارنده ۱۰ تا ۲۰ درصد رس در صورت تغییر شرایط رطوبتی خاک محتمل است و در خاک‌های با چسبندگی بالا یا خاک‌های درشت دانه امکان توسعه ترک کششی وجود ندارد. پرتانی و همکاران (۱۳۸۶) در مطالعه خود، روش‌های مهار فرسایش و حفاظت خاک کناره‌ها در رودخانه صفارود را مورد ارزیابی قرار داده اند که دو عامل مؤثر در نابسامانی رودخانه را یکی جریان تالوگ و دیگری حرکت حلزونی آب در سر قوسهای خارجی تشخیص داده اند. با بررسی این دو جریان، روش‌های اصلاح و تثبیت دیواره‌های رودخانه و مراحل مختلف حفاظت در مقابل عوامل درونی و بیرونی مورد بررسی قرار گرفته است.

امین نژاد و همکاران (۱۳۸۸) در پژوهشی اثر طول آب شکن در محافظت از سواحل رودخانه در فرسایش کناره‌ای داشت های سیلانی را به روش مدل فیزیکی مورد بررسی قرار داده اند. برای بررسی مطالعات مربوط به آبشستگی، با مدل سازی فیزیکی، از سه آب متوالی با سه طول مختلف و به صورت یک طرفه و با سه دبی، طراحی و آزمایش کرده اند و الگوی کلی آبشستگی اطراف آب شکن‌ها را ارائه و با یکدیگر مقایسه کرده اند.

منصوری هفتجانی و شفاعی (۱۳۹۰) در پژوهشی طراحی قطر سنگچین در اطراف تکیه گاه پل واقع در قوس رودخانه را بررسی کرده اند که با استفاده از داده‌های به دست آمده، فرمول‌های قطر سنگ چین برای کنترل آب شستگی تکیه گاه پل در قوس رودخانه ارائه گردید. همچنین فرمول‌های ارائه شده توسط تحقیق حاضر با روابط ارائه شده از مطالعات پیشین بر روی سنگ چین اطراف تکیه گاه واقع در مسیر مستقیم مقایسه شد و ضریب تصحیح مناسب برای استفاده از این روابط در قوس ارائه شده است.

کریمی پاشاکی و همکاران (۱۳۹۱) هیدرولیک جریان در رودخانه خرسان از سرشاخه‌های اصلی کارون در محدوده ورودی به مخزن سد خرسان ۳ با استفاده از مدل عددی HEC-RAS شبیه سازی و مقاطع عرضی و پارامترهای هیدرولیکی جریان از جمله سرعت و تنفس برآورده از ساخته را برآورد کردند. در این تحقیق با استفاده از معیار راسگن و شاخص فرسایش پذیری کناره با توجه به مقدار پارامترهای گرادیان سرعت جریان و نسبت تنفس برآورده شاخص فرسایش پذیری کناره‌های رودخانه را در عسطح از خیلی کم تا خیلی شدید تفکیک کرده اند.

استادی و همکاران (۱۳۹۳) در پژوهشی مدل بهینه سازی طراحی آبشکن‌های رودخانه‌ای و نقش آن در تعیین و هزینه‌های ساخت سازه را بررسی کرده و از بین معادله‌های مختلف، به این نتیجه رسیده اند که معادله‌های بار بستر و آبشستگی، نقش بسزایی در تعیین و هزینه‌های ساخت سازه دارد و از بین معادله‌های بار بستر استفاده شده، معادله Englund and Fredsoe بیشترین ظرفیت انتقال رسوب و کمترین هزینه و معادله بار بستر Van Rijn کمترین ظرفیت انتقال رسوب و بیشترین هزینه را به دنبال دارد.

خالقی و ملکانی (۱۳۹۳) در پژوهشی برآورد فرسایش کرانه رودخانه لیقوان چای با استفاده از شاخص تنفس برآورده نزدیک کرانه راسگن پرداخته اند که نتایج نشان داد که در روش (R_c/W_{bkf}) ، میزان فرسایش پذیری کرانه در اکثر مقاطع به جز مقطع ۱۰، کم تا خیلی کم بوده و در روش (d_{nb}/d_{bkf}) در اکثر مقاطع فرسایش پذیری کرانه‌ها در حد کم تا متوسط است. لایقی و کرم (۱۳۹۳) در طبقه‌بندی هیدرولیکی راسگن ۲۳ کیلومتر از رودخانه جاجروم به منظور احیاء رود و اقدامات مدیریتی از سیستم طبقه‌بندی مورفولوژیکی راسگن بهره گرفتند. نتایج نشان داد بخش اعظم این بازه مطالعاتی دارای الگوی DA است و بخش کمی از رودخانه دارای الگوی B با وضعیت بسیار نامطلوبی است. با انجام اقدامات کنترلی در بالادرست رودخانه و عملیات آبخیزداری در کناره‌ها مانند احداث گاییون، کنترل پوشش کناره‌ها و اصلاح خاک تا حد زیادی می‌توان میزان تخریب را کاهش داد.

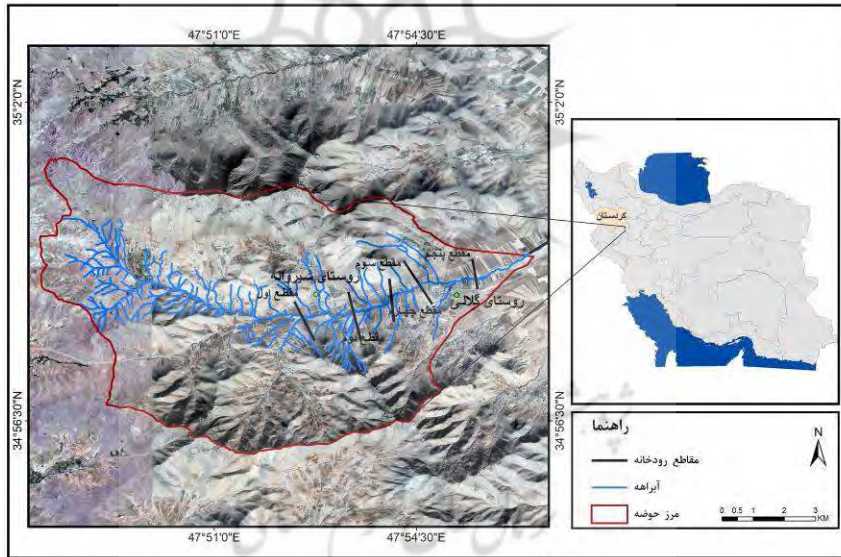
بدین منظور هدف این مطالعه، بررسی میزان خطر فرسایش کرانه‌ای و مدیریت و پایدارسازی رودخانه در برابر فرسایش کرانه‌ای در رودخانه گالالی قروه است. در ابتدا پارامترهای موثر در فرسایش پذیری کرانه رودخانه گالالی بر اساس مدل تنفس برآورده

استخراج و سپس اندازه پاره سنگ مناسب برای سنگچینی هر بازه مشخص گردید و در نهایت میزان انطباق مقادیر اندازه گیری شده با مشاهدات میدانی بررسی شده است.

مواد و روش

منطقه مورد مطالعه

حوضه آبریز گالالی در فاصله ۴۳ کیلومتری شهرستان قروه، در جنوب شرقی استان کردستان و در موقعیت جغرافیایی ۴۷ درجه و ۵۹ دقیقه تا ۴۷ درجه و ۴۸ دقیقه طول جغرافیایی، ۳۴ درجه و ۵۶ دقیقه تا ۳۵ درجه و ۲ دقیقه عرض جغرافیایی واقع شده است (شکل ۱). مساحت حوضه $\frac{83}{9}$ کیلو متر مربع، مرتفع ترین نقطه آن ۳۱۲۴ متر و کمترین ارتفاع آن ۱۸۲۷ متر است. شش منطقه مسکونی به نام های گالالی، شیروانه، تکیه علیا، تکیه سفلی، درمه و قورمه دره به اضافه یک معدن آهن و یک کارخانه ماسه شویی و آسفالت در منطقه مورد مطالعه قرار دارد. دمای متوسط سالانه منطقه $\frac{6}{3}$ درجه سانتیگراد، متوسط حداقل دمای ماهانه در مرداد ماه برابر $\frac{28}{8}$ درجه سانتیگراد و متوسط حداقل دمای ماهانه $\frac{11}{6}$ درجه سانتیگراد است. مقدار میانگین بارش سالانه منطقه $\frac{418}{4}$ میلیمتر در سال می باشد. اقلیم منطقه مورد مطالعه در روش آمبرژه، اقلیم نیمه خشک سرد است. بازه مورد مطالعه در این مقاله به طول ۳ کیلومتر و از پل کنار روستای شیروانه تا پل بعدی که در روستای گالالی قرار دارد.



شکل ۱: حوضه گالالی و بازه مورد مطالعه

تعداد ۵ مقطع عرضی در بازه مورد نظر از پل روستای شیروانه تا پل روستای گالالی بر اساس تغییرات مورفومتری، در دست رس بودن محل اندازه گیری و محل های دارای استعداد فرسایش با توجه به مشاهدات میدانی انتخاب شد (شکل ۱) و اقدام به تهیه مقاطع عرضی کanal با استفاده از متر پارچه ای و شاخص نقشه برداری گردید و پارامتر هایی نظیر عرض دبی لبالی، عمق متوسط دبی لبالی، شبکه کرانه و بستر، اندازه ذرات بستر و کرانه، شاعع انحنای و سرعت جريان اندازه گیری شد. برپایه داده های اندازه گیری شده از مقاطع، پارامترهای مورد نیاز در اندازه گیری تنش بشی شامل قطر ذره، زاویه قرار پاره سنگ، پارامتر شیلدز، شبکه طولی رودخانه، چگالی آب و داده های مورفومتری کanal جهت اندازه گیری دبی به شرح ذیل محاسبه گردید.

اندازه گیری مقطع دبی لبالبی

با توجه به آثار کناره رودخانه از جمله زیربری رودخانه، تغییرات جنس در کرانه رودخانه، آثار خزه‌ها و گلسنگ‌ها، تغییرات رنگ سنگ‌ها و همچنین سطح دشت سیلابی (در صورت وجود دشت سیلابی) مقطع دبی لبالبی مشخص و عرض و عمق دبی لبالبی با استفاده از متر و شاخص اندازه گیری شد (شکل ۲). برای مشخص نمودن متوسط عمق با استفاده از شاخص نقشه برداری در نقاط مختلف از تراز دبی لبالبی (عرض مقطع پر)، عمق اندازه گیری شده و میانگین عمق‌های هر مقطع به عنوان عمق متوسط در نظر گرفته شده است.



شکل ۲: نمایی از اندازه گیری دبی لبالبی (Lawlor, 2004)

شعاع انحناء^۱

برای اندازه گیری شعاع انحناء، مسیر رودخانه بر پایه تصاویر بدست آمده از گوگل ارث در محیط اتوکد ترسیم گردید. در ادامه دو ایر مماس بر هر قوس ترسیم و شعاع دایره ترسیم شده، نماینده شعاع انحناء هر قوس رودخانه خواهد شد.

سرعت جریان

برای تعیین سرعت آب در این روش، دو نقطه را در مسیر آب به طول ۱۰ متر که نسبتاً مستقیم و عاری از علف و گیاهان آبی باشد انتخاب گردید و جسمی را که حتی المقدور اثر باد در آن کمتر باشد در ابتدای مسیر انتخاب شده (نقطه A) انداخته و فاصله زمانی را که جسم شناور به انتهای مسیر (نقطه B) برسد را با کرنومتر اندازه گیری شد. در ادامه بر اساس رابطه ۱ سرعت سطحی جریان محاسبه گردید.

$$V = L / t \quad (1)$$

در این رابطه t فاصله زمانی بر حسب ثانیه و L فاصله بین دو نقطه (A, B) بر حسب متر است. سپس عدد به دست آمده را در ضریب ۸٪ ضرب کرده تا سرعت متوسط به دست آید.

شیب کرانه

در مطالعات میدانی در منطقه مورد مطالعه شیب کرانه با استفاده از شیب سنج دیجیتال برای هر یک از مقاطع به دست آمد.

^۱ - Radius of Curvature

شیب کanal

شیب کanal با استفاده نقشه برداری طولی از بازه مورد مطالعه و سپس با تقسیم اختلاف ارتفاع بالادست و پایین دست بازه بر طول آن (۱۰ متر) به دست آمد.

اندازه قطر رسوبات

برای بررسی اندازه ذراتی که بیشترین فراوانی را دارند از روش شمارش پیل^۲(Rig) که به وسیله ولمن در سال ۱۹۵۲ ارائه شده است، استفاده شد. در این روش ۱۰۰ ذره به صورت اتفاقی انتخاب شده و محور متوسط(d) آن ها اندازه گیری شد. سپس داده های به دست آمده از اندازه ذرات به صورت نمودار تجمعی ترسیم می شود تا ۵۰ D (اندازه ذراتی که ۵۰ درصد نمونه مساوی یا کوچکتر از آن هستند) آن ها محاسبه شود (حسین زاده و همکاران، ۱۳۹۴، ۳۳۸).

زاویه قرار پاره سنگ Ø و پارامتر شیلدز :

زاویه قرار پاره سنگ را با توجه به جدول(۱) مناسب با قطر ذرات کرانه رودخانه که بر اساس مشاهدات میدانی اندازه گیری شده، محاسبه گردید. پارامتر شیلدز عدد بی بعدی است که برای محاسبه شروع ایجاد و حرکت رسوب در یک جریان سیال استفاده شده و از طریق رابطه ۲ محاسبه می شود. در واقع پارامتر شیلدز نسبت نیروی بر شی به وزن ذره است

$$\tau_* = \theta = \frac{\tau}{(\rho_s - \rho)gD} \quad \text{رابطه ۲}$$

در این رابطه τ : تنفس بر شی، ρ : چگالی رسوب، ρ_s : چگالی سیال، g : شتاب گرانش و D : قطر مشخصه ذرات رسوب است.

جدول ۱: زاویه قرار پاره سنگ و پارامتر شیلدز برای اندازه های مختلف پاره سنگ (ژولین، ۱۳۸۸، ۵۴۰)

پارامتر شیلدز t^*	زاویه قرار پاره سنگ Ø	قطر ذره (میلیمتر)	طبقه بندی اندازه پاره سنگ
۰/۰۵۴	۴۲	>۲/۰۴۸	تخته سنگ بسیار بزرگ
۰/۰۵۴	۴۲	۱/۰۲۴ - ۲/۰۴۸	تخته سنگ بزرگ
۰/۰۵۴	۴۲	۵۱۲ - ۱/۰۲۴	تخته سنگ متوسط
۰/۰۵۴	۴۲	۲۵۶ - ۵۱۲	تخته سنگ کوچک
۰/۰۵۴	۴۲	۱۲۸ - ۲۵۶	قلوه سنگ بزرگ
۰/۰۵۲	۴۱	۶۴ - ۱۲۸	قلوه سنگ کوچک
۰/۰۵۰	۴۰	۳۲ - ۶۴	گراول خیلی بزرگ
۰/۰۴۷	۳۸	۱۶ - ۳۲	گراول بزرگ
۰/۰۴۴	۳۶	۸ - ۱۶	گراول متوسط
۰/۰۴۲	۳۵	۴ - ۸	گراول ریز

۰/۰۳۹	۲۳	۲ - ۴	گراول خیلی ریز
-------	----	-------	----------------

ضریب مانینگ:

روش‌های مختلفی برای به دست آوردن n مانینگ وجود دارد از جمله استریکلر، سازمان زمین‌شناسی آمریکا و ... اما در این پژوهش n مانینگ از طریق جدول کوان محاسبه شده است. مقدار n مانینگ به شدت متغیر است و به فاکتورهای متعددی بستگی دارد که عبارتند از: ناهمواری‌های سطحی، پوشش گیاهی، ناهمواری کanal، مسیر کanal، فرسایش و رسوبگذاری، موائع رسوبی، اندازه و شکل کanal، تغییرات سطح آب و دبی، تغییرات فصلی و بار رسوبی معلق و بستری که این موارد در جدول کوان لحاظ شده است (حسین‌زاده و همکاران ۱۳۹۴، ۳۳۹).

ضریب خمیدگی: همچنین اندازه ضریب خمیدگی بر اساس مقادیر ذیل یعنی برای رودخانه‌های مستقیم کمتر از ۱/۰۵، برای رودخانه‌های سینوسی بین ۱/۰۵ تا ۱/۰ و برای رودخانه‌های پیچانروزی بیشتر از ۱/۵ مشخص گردید (مورت به نقل از مونت، ۱۹۹۵).

تنش برشی

ناپایداری کرانه با استفاده از روش‌های زیادی محاسبه می‌گردد. یکی از این روش‌ها، تنش برشی بر اساس رابطه لین است، که بر اساس اندازه مؤثر پاره سنگ برای پایداری کرانه تحت نیروی برشی τ_0 از طریق رابطه ۳ تخمین زده می‌شود. رابطه ۳

$$d_m = \frac{\tau_0}{\tau_{*c} \gamma (G-1) \left[\cos \theta_1 \sqrt{1 - \frac{\sin^2 \theta_1}{\sin^2 \phi}} \right]}$$

که τ_0 تنش برشی به کار رفته و τ_{*c} عدد شیلدز بحرانی است. γ_s وزن مخصوص سنگ و آب، θ_1 زاویه شیب بدنه و ϕ زاویه قرار پاره سنگ است و برای محاسبه رابطه لین باید مراحل زیر انجام پذیرد.

گام اول: شیب طولی رودخانه، که با مطالعات میدانی به دست می‌آید.

گام دوم: تنش برشی از طریق رابطه ۴ به دست آمد.

$$\text{رابطه ۴: } \tau_0 = \gamma h s$$

گام سوم: محاسبه پارامتر ژئومورفیک (هندرسی) شیب کرانه از طریق رابطه ۵:

$$\theta = \tan^{-1}(\sin \theta_0 / \sin \theta_1) \quad \text{رابطه ۵}$$

گام چهارم: محاسبه پارامتر ژئومورفیک (هندرسی) وزن مستعرق ذره از طریق رابطه ۶:

$$a_\theta = \sqrt{\cos^2 \theta_1 - \sin^2 \theta_0} \quad \text{رابطه ۶}$$

گام پنجم: ر: محاسبه زاویه انحراف خطوط جريان از طریق رابطه ۷:

$$\lambda \cong \tan^{-1} \left(\frac{11h}{R} \right) \quad \text{رابطه ۷}$$

گام ششم: محاسبه ضریب پایداری ذرات تشکیل دهنده کرانه از طریق رابطه ۸:

$$\eta_0 = \frac{21\tau_0}{(G-1)\gamma d_s} \quad \text{رابطه ۸}$$

گام هفتم: محاسبه زاویه حرکت ذره بستر β از طریق رابطه ۹:

$$\beta = \tan^{-1} \left\{ \frac{\cos(\lambda + \theta)}{\left[\frac{2\sqrt{1-a_\theta^2}}{\eta_0 \tan \phi} + \sin(\lambda + \phi) \right]} \right\} \quad \text{رابطه ۹}$$

گام هشتم: محاسبه ضریب پایداری شیب کرانه از طریق رابطه ۱۰:

$$\eta_1 = \eta_0 \left[\frac{1 + \sin(\lambda + \beta + \theta)}{2} \right] \quad (10)$$

گام نهم: محاسبه وضعیت پایداری کرانه از طریق رابطه ۱۱:

$$SF = \frac{a_\theta \tan \phi}{\eta_1 \tan \phi + \sqrt{1 - a_\theta^2} \cos \beta} \quad (11)$$

در صورتی که فاکتور ایمنی^۳ کوچکتر از ۱ باشد گویای ناپایداری ذرات تشکیل دهنده کرانه خواهد بود. همچنین می توان با فرض $\lambda = 0$, $\theta_0 = 0$ اندازه پاره سنگ در آستانه حرکت را از طریق رابطه ۱۲ تخمین زد.

$$d_m \cong \frac{\tau_0}{\sqrt{1 - \frac{\sin^2 \theta_1}{\sin^2 \theta} 0.047 (\gamma_s - \gamma)}} \quad (12)$$

به منظور محاسبه اندازه ذرات پایدار در کرانه مورد نظر، لازم است گامهای ششم تا نهم برای اندازه های مختلف پاره سنگ SF=1 به دست آید، که اندازه پاره سنگ پایدار جهت سنگ چینی خواهد بود.

داده های مورد نیاز این بخش از طریق برداشت میدانی و محیط نرم افزار اتوکد جمع آوری گردید. به این منظور با استفاده از شاخص نقشه برداری و متر پارچه ای داده های هندسی و هیدرولیک مقاطع شامل سرعت آب، عرض دبی لبالی، متوسط عمق دبی لبالی، شبکه کناره، شبکه بستر و شعاع هیدرولیک اندازه گیری شده است.

نتایج و بحث

افزایش فرسایش کنارهای علاوه بر اینکه موجب افزایش بار رسوب شده بلکه موجب ناپایداری رودخانه و تغییر نوع جریان و الگوی کanal می شود. راه حل های مهندسی متعددی برای تقویت کرانه در برابر فرسایش وجود دارد. در روش های معمول از پوشش سنگریز و یا از پاره سنگهای بزرگی که در ساحل قرار دارند و به سادگی قابل برداشت نیستند، استفاده می شود. در مورد رودخانه گالالی قروه که در بیشتر مسیر از نوع سینوسی است و در کلیه مقاطع ناپایدار است راهکار مدیریتی ضرورت دارد که از روش تنفس برشی لین بر اساس اندازه مؤثر پاره سنگ برای برآورد شرایط پایداری کرانه استفاده شد. و با توجه به ثابت بودن جریان مهمترین عامل تأثیر گذار میزان ناپایداری در مقاطع مختلف اندازه ذرات کناره کanal است. بدین منظور پس از بدست آوردن پارامترهای مورد نیاز، میزان ضریب پایداری کرانه، اندازه پاره سنگ در آستانه حرکت و اندازه پاره سنگ مؤثر جهت سنگ چینی کرانه رودخانه گالالی قروه بدست آمد. متغیرهای مؤثر در فرسایش کرانه رودخانه گالالی قروه شامل شعاع انحنای، عرض دبی لبالی، شبکه کناره، شبکه بستر، زاویه قرار پاره سنگ، قطر ذرات، چگالی نسبی ذرات، سرعت متوسط و متوسط عمق دبی لبالی از طریق اندازه گیری ها و مشاهدات میدانی و نقشه های توپوگرافی بدست آمد. (جدول ۲).

^۳ - Safety Factor

جدول ۲: پارامترهای موثر در فرسایش کرانه رودخانه گالالی قروه بر طبق شاخص تنش برشی

سرعت متوسط جریان (m/s)	زاویه شبیب کناره θ_1 (درجه)	چگالی نسبی G	قطر ذرات (mm)	ضریب مانینگ \emptyset	زاویه قرار پاره سنگ Ø	متوسط عمق دبی بلالی (متر)	عرض دلی بلالی (متر)	شبیب S θ_0 (درجه)	شعاع انحناء (متر)	ضریب خمیدگی	مقطع عرضی
۱/۱۰	۲۸	۲/۶۵	۱۶	۰/۰۹۵۴	۳۸	۰/۶۸	۶/۸	۰/۰۲۲	۱۴/۶۸	۱/۵۰	۱
۱	۲۱	۲/۶۵	۱۳۰	۰/۰۹۵۴	۴۲	۰/۷۱۸۵	۹/۸	۰/۰۱۹	۱۶	۱/۵۰	۲
۱/۲۹	۱۷	۲/۶۵	۱۳۰	۰/۰۹۷۷	۴۲	۰/۴۹۷۵	۷/۵	۰/۰۲۳	۵۳/۷۱	۱/۴۳	۳
۱	۲۰	۲/۶۵	۱۲۸	۰/۰۹۴۹	۴۱	۰/۴۹۸۴	۹/۴	۰/۰۲۴	۴۹/۹۳	۱/۵۴	۴
۱/۱۹	۳۸	۲/۶۵	۳۲	۰/۰۹۱	۴۰	۰/۴۰۶	۵/۹	۰/۰۱۷	۱۱/۹۲	۱/۷۷	۵

پس از مشخص شدن این پارامترها، می‌توان تنش برشی τ_0 ، ضریب پایداری ذره a_θ ، زاویه انحراف خطوط جریان λ ، عدد پایداری η_0 ، زاویه حرکت ذره بستر β با فرض $M=N$ و η_1 را محاسبه کرد (جدول ۲). همچنین الگوی رودخانه بر پایه ضریب خمیدگی در مقاطع ۱، ۲ و ۳ از نوع سینوسی و در مقاطع ۴ و ۵ از نوع پیچانروندی بوده است. نحوه محاسبه گامهای چهارم تا یازدهم، برای مقطع شماره ۲ به قرار زیر است:

$$\tau_0 = 1000 * 9.81 * 0.7185 * 0.019$$

$$\theta = 0.052$$

$$a_\theta = \sqrt{0.8497} = 0.93$$

$$\lambda = \tan^{-1} 0.4939 = 26.28$$

$$\eta_0 = \frac{21 * 133.92}{1.65 * 9810 * 0.13} = 1.3664$$

$$\beta = \tan^{-1} \left\{ \frac{0/8962}{[0/7351 + 0/4435]} \right\} = 40.355$$

$$\eta_1 = 1/355 \left[\frac{1 + \sin(26.28 + 40.355 + 0.052)}{2} \right] = 1.2818$$

$$SF = \frac{0/93 \tan 40}{1.335 \tan 40 + \sqrt{1 - 0/93^2} \cos 40 / 355} = 0.584$$

$$d_m \cong \frac{\frac{133}{92}}{\sqrt{1 - \frac{\sin^2 21}{\sin^2 41}}} 0.047 * 1.65 * 9810 = 20.84$$

جدول ۳: پارامترهای مؤثر در شاخص تنش برشی فرسایش کناره رودخانه گالالی

η_1	β	η_0	λ	a_θ	θ	τ_0	مقطع عرضی
۱۱/۷۹	۵۸/۲۰	۱۱/۸۱	۲۶/۷۹	۰/۸۸	۰/۰۵	۱۴۵/۶۸	۱
۱/۲۸	۴۰/۳۶	۱/۳۴	۲۶/۲۸	۰/۹۳	۰/۰۵	۱۳۳/۹۲	۲

۱/۰۴	۵۴/۰۲	۱/۱۲	۵/۸۲	.۰/۹۵	.۰/۰۷	۱۱۲/۲۵	۳
۱/۱۰	۵۲/۱۳	۱/۱۹	۶/۲۶	.۰/۹۴	.۰/۰۷	۱۱۷/۳۴	۴
۲/۶۴	۴۶/۵۸	۲/۷۴	۲۰/۵۳	.۰/۷۹	.۰/۰۳	۶۷/۷	۵

پس از محاسبه پارامتر های مؤثر در شاخص تنش برشی فرسایش کناره رودخانه گالالی میزان پایداری کرانه، اندازه پاره سنگ در آستانه حرکت و اندازه پاره سنگ مؤثر برای سنگچینی رودخانه مورد نظر برآورد گردید(جدول ۴) که برای به دست آمدن گامهای ششم تا نهم برای اندازه های مختلف پاره سنگ آنقدر تکرار شد که $SF = 1$ به دست آمد(جدول ۳). و در مورد نحوه حرکت ذرات میتوان گفت: هنگامی که ذره ناپایدار می شود در راستای β نسبت به جهت تند ترین شیب به راه می افتد. اگر $\beta_+ \theta > 90^\circ$ جهت حرکت به پایین دست است اگر $\beta_+ \theta < 90^\circ$ باشد ذره به پایین شیب بدن به بالا به طرف سطح آب حرکت می کند و اگر $\beta_+ \theta = 90^\circ$ باشد ذره به سمت خط القعر به راه می افتد که در کلیه مقاطع رودخانه گالالی $\beta_+ \theta < 90^\circ$ است. مراحل محاسبه پاره سنگ مؤثر برای سنگچینی برای مقطع شماره ۲ به قرار زیر است.

$$\eta_0 = \frac{21*133.92}{1.65*9810*0.26} = 0.6682$$

$$41.103 = \tan^{-1} \left\{ \frac{0/8962}{[0/351 + 0/4435]} \right\} = \beta$$

$$\eta_1 = 0.6682 \left[\frac{1 + \sin(26.28 + 41.1036 + 0.052)}{2} \right] = 0.6428$$

$$SF = \frac{0/93 \tan 42}{0.6428 \tan 40 + \sqrt{1 - 0/93^2} \cos 41.1036}$$

جدول ۴: میزان ضریب پایداری کرانه و اندازه پاره سنگ مؤثر جهت سنگ چینی رودخانه گالالی قروه بر اساس شاخص تنش برشی

اندازه پاره سنگ مؤثر جهت سنگ چینی (Cm)	اندازه پاره سنگ در آستانه حرکت (cm)	ضریب پایداری SF	مقطع عرضی
۴۲	۲۹/۶	.۰/۰۷	۱
۲۶	۲۰/۸۴	.۰/۵۸	۲
۲۰	۱۶/۴	.۰/۷۷	۳
۲۲	۱۸	.۰/۷	۴
۶۰	۳۹/۷	.۰/۲۵	۵

نتیجه گیری

در این پژوهش فرسایش کناره‌ای رودخانه گالالی قروه با استفاده از روش لین جهت شناسایی کناره‌های ناپایدار و تایین اندازه سنگ چین کردن کناره‌های ناپایدار مورد بررسی قرار گرفت. نتایج نشان داد که مقاطع ۱، ۲، ۵ و ۳ به ترتیب دارای بیشترین ضریب ناپایداری هستند و بر این اساس اندازه پاره سنگ موثر جهت سنگ چینی و حفاظت از فرسایش ساحلی متفاوت خواهد بود. به طوری که بیشترین قطر پاره سنگ جهت سنگچینی در مقطع ۵ به میزان ۶ سانتیمتر و کمترین آن در مقطع ۳ به میزان ۲۰ سانتیمتر تخمین زده شد. و با توجه به اینکه در کلیه مقاطع $\beta < 90^\circ$ است جهت حرکت ذرات به طرف پایین شیب بدنه و به سمت خط القعر است. با توجه به جدول (۱) و با توجه به اندازه پاره سنگ و زاویه قرار پاره سنگ در مقاطع مختلف متفاوت است که در مقطع ۱، ۵ از نوع گراول بزرگ و در مقاطع ۲، ۳، ۴ از نوع قلوه سنگ بزرگ است. و با توجه به اندازه پاره سنگ های به دست آمده جهت سنگ چینی در مقاطع ۳، ۴ از نوع قلوه سنگ خیلی بزرگ و در مقاطع ۲، ۱ از نوع تخته سنگ کوچک و در مقطع ۵ تخته سنگ متوسط پیش‌بینی شده است. نقطه قوت این پژوهش نسبت به مطالعات رودخانه‌ای پیشین در این رودخانه علاوه بر بررسی و پیش‌بینی فرسایش در رودخانه گالالی قروه راهکار جلوگیری از فرسایش با استفاده از سنگچین و تعیین اندازه قطعه سنگ های بکار رفت برای این عملیات بوده است.

منابع

- استادی، فربی؛ مجذ زاده طباطبایی، محمد رضا؛ علی محمدی، علی. ۱۳۹۳. مدل پهینه سازی آبشکن‌های رودخانه‌ای و نقش آن در پایدار سازی مورفولوژیکی رودخانه، نشریه هیدرولیک، دوره ۹، ش ۴ ص ۵۵-۷۲.
- امیری تکلدانی، ابراهیم؛ صمدی، امیر؛ رحیمی، حسن. ۱۳۸۴. اثرات موقعیت و عمق ترک کششی در پایداری ساحل رودخانه، مجله تحقیقات کشاورزی، جلد ۶، شماره ۲۵، ص ۷۸-۹۴.
- امین نژاد، بابک؛ صانعی، مجتبی؛ کمالزاده، مهدی. ۱۳۸۸. اثر طول آب شکن در محافظت از سواحل رودخانه در فرسایش، هشتمنی کنگره بین المللی مهندسی عمران دانشگاه شیراز.
- پرتانی، صادق؛ مهدوی نیا، جعفر؛ جلال، مصطفی. ۱۳۸۷. روش‌های مهار فرسایش و حفاظت خاک کناره‌ها در رودخانه صفا رود، ششمین کنفرانس هیدرولیک ایران. دانشگاه شهر کرد.
- حسین زاده، محمد مهدی. و اسماعیلی، رضا. ۱۳۹۴. ژئومورفولوژی رودخانه‌ای. مفاهیم، اشکال و فرآیندها، انتشارات دانشگاه شهید بهشتی، ۳۳۸ ص.
- ژولین، پی. یر. ۱۳۸۸. مکانیک رودخانه، ترجمه محمد رضا جعفر زاده، انتشارات دانشگاه فردوسی مشهد، ۵۴۰ ص.
- خالقی، سمیه؛ ملکانی، لیلا. ۱۳۹۴. برآورد فرسایش کرانه رودخانه لیقوان چای با استفاده از شاخص تنش بر بشی نزدیک کرانه راسگن. کنگره بین المللی جغرافیا و توسعه پایدار، تهران.
- خمامی پامساري، حسن؛ کریمی پاشاکی؛ محمد حسین؛ کاویان‌فر، آزاده. ۱۳۹۰. برآورد شاخص فرسایش کناری راسگن با استفاده از مدل *HEC-RAS* (مطالعه موردی رودخانه خرسان). دهمین کنفرانس هیدرولیک ایران، دانشگاه گیلان.
- سازمان معاونت برنامه‌ریزی و نظارت راهبردی. ۱۳۹۱. راهنمای مطالعات ریخت‌شناسی رودخانه‌ها. ۱۶۶-۵۹۲.
- فروزنی، سعید. ۱۳۸۵. بررسی مقایسه‌ای پروفیل سطح آب و پهنه سیل با مدل‌های با بستر ثابت و بستر متحرک. پایان نامه کارشناسی ارشد. دانشکده عمران. دانشگاه تبریز.
- لایقی، صدیقه؛ کرم، امیر. ۱۳۹۳. طبقه‌بندی هیدرژئومورفولوژیکی رودخانه جاجروم با مدل روزگن. پژوهش‌های ژئومورفولوژی کمی، ش ۳ ص ۱۴۳-۱۳۰.

- کریمی پاشاکی، محمدحسین؛ اطمینان، حامد؛ صارمی، علی. ۱۳۹۱. طراحی پوشش ریپ رپ رودخانه با توجه به شاخص فرسایش کناری راسگن مطالعه موردی رودخانه خرسان، نهمین سمینار بین المللی مهندسی رودخانه، دانشگاه شهید چمران اهواز، اهواز.
- منصوری هفشجانی، مهندوش؛ شفاعی بجستان، محمود. ۱۳۹۰. طراحی قطر سنگ چین در اطراف تکیه گاه پل واقع در قوس رودخانه، فصلنامه علمی پژوهشی مهندسی آبیاری. ش^۴، ص^{۱۰}.
- وزارت نیرو. ۱۳۸۳. راههای مهار فرسایش و حفاظت از رودخانه ها، ۱۴۵-۱۱۵.
- -Bernhardt, E. S., Palmer, M. A., Allan, J. D., Alexander, G., Barnas, K., Brooks, S., Carr, J., Clayton, S., Dahm, C., Follstad-Shah, J., Galat, D., Gloss, S., Oodwin, P., Hart, D., Hassett, B., Jenkinson, R., Katz, S., Kondolf, G. M., Lake, P. S., Lave, R., Meyer, J. L., O'Donnell, T. K., Pagano, L., Powell, B. and Sudduth, E. 2005. Synthesizing U. S. river restoration efforts, *Science*, 308, 636–637.
- -Coryat, M. 2014. Analysis of the Bank Assessment for Non-point Source Consequences of Sediment (BANCS) Approach for the Prediction of Streambank Stability and Erosion along Stony Clove Creek in the Catskills. Master of Science Thesis, Syracuse University.
- -Kang, R.S. 2007. Effects of urbanization on channel morphology of three streams in the Central Redbed Plains of Oklahoma. ProQuest. Ph.D thesis. Faculty of the Graduate College. Oklahoma State University.
- -Kwan, H., Swanson, S. 2014. Prediction of Annual Streambank Erosion for Sequoia National Forest, California. JAWRA Journal of the American Water Resources Association, 50(6): 1439–1447.
- Lawlor, S. M. 2004. Determination of Channel-Morphology Characteristics, Bankfull Discharge, and Various Design-Peak Discharges in Western Montana. Scientific Investigations Report 2004-5263: 1-19.
- -Moret, S.L. 2001. Predicting Channel Stability in Colorado Mountain Streams Using Hydrobiogeomorphic and Land Use Data: A Cost-Sensitive Machine Learning Approach to Modeling Rapid Assessment Protocols. Doctor of Philosophy, Oregon State University.
- Mount, J. F. 1995. *California Rivers and Streams- The Conflict between Fluvial Process and Land Use*, University of California Press, Berkeley, California.
- -Rosgen, D.L. 2011. Watershed assessment of river stability and sediment supply (WARSSS). *Wildland Hydrology*, Fort Collins, Colorado.
- -Rosgen, D. 2001. A practical method of computing streambank erosion rate. p. 9–15. In Proc. 7th Federal Interagency Sedimentation Conf., Reno, NV. 25–29 Mar. 2001. Vol. 2. USGS, Reston, VA. -Simon, A. and Darby, S. E., 1999. The nature and significance of incised river channels. In: Darby, S. E., Simon, A. (eds.), *Incised river channels*, John Wiley and Sons, Chichester, UK, 452 p.
- Starr, R. 2008. Maryland Trust Fund Geomorphic Monitoring, Stream Habitat Assessment and Restoration Program Chesapeake Bay Field Office U.S. Fish and Wildlife Service, (410): 573-4583.
- -Wilson, C. G., Kuhnle, R. A., Bosch, D. D., Steiner, J. L., Starks, P. J., Tomer, M. D. and Wilson, G. V. 2008. Quantifying relative contributions from sediment sources in Conservation Effects Assessment Project watersheds. *Journal of Soil and Water Conservation*, 63: 523–531.